

## МЕТОД МОДЕЛИРОВАНИЯ НЕСТАЦИОНАРНЫХ РЕЖИМОВ ЭЛЕКТРОТЕХНИЧЕСКИХ СИСТЕМ НА ОСНОВЕ ИХ СХЕМНЫХ КОЭФФИЦИЕНТОВ

Канов Л.Н., к.т.н., доц.; Костюков В.В.

Севастопольский национальный технический университет  
Украина, 99053, Севастополь, Стрелецкая бухта, СевНТУ,  
кафедра "Судовые и промышленные электромеханические системы"  
тел. (0692) 235-160

*Запропонований ефективний чисельно-аналітичний метод моделювання нестационарних й перехідних режимів електротехнічних систем. Метод базується на використанні схемних коефіцієнтів і здатен для аналізу як лінійних, так і нелінійних систем. Описана методика обчислення схемних коефіцієнтів. Наведен приклад використання методу.*

*Предложен эффективный численно-аналитический метод моделирования нестационарных и переходных режимов электротехнических систем. Метод основан на использовании схемных коэффициентов и пригоден для анализа как линейных, так и нелинейных систем. Описана методика вычисления схемных коэффициентов. Приведен пример применения метода.*

### ВВЕДЕНИЕ

С развитием и усложнением электротехнических систем необходимость исследования переходных процессов приобретает все большее значение [1]. Из существующих методов выгодно выделяется классический метод расчета, основанный на непосредственном решении дифференциальных уравнений и имеющий прозрачный физический смысл [2, 3]. В то же время с усложнением исследуемых систем наметились затруднения в использовании этого метода, которые неоправданно сужают его применение. Речь идет об излишней громоздкости определения постоянных интегрирования в системах высокого порядка [3, 4], т.к. наряду с вычислением производных высокого порядка по переменным системы это требует многократного решения систем линейных алгебраических уравнений.

Статья посвящена разработке численно-аналитического метода моделирования переходных процессов в линейных и нелинейных электромеханических системах, который, сохраняя все достоинства классического анализа, позволил бы в какой-то мере обойти отмеченные затруднения. Метод основан на вычислении схемных коэффициентов, устанавливающих взаимную связь между переменными системы в переходном процессе [5] и на использовании этих коэффициентов для моделирования нестационарных и переходных режимов электротехнических систем.

### ПОСТАНОВКА ЗАДАЧИ

Переходные процессы в линейной электротехнической системе описываются совокупностью дифференциальных и алгебраических уравнений. Ограничимся здесь случаем простых собственных чисел. В этих условиях каждая переменная имеет свободную составляющую в виде

$$x_{j\text{св}}(t) = \sum_{i=1}^n A_{ji} \exp(p_i t); \quad j = 1, 2, \dots, m; \quad i = 1, 2, \dots, n, \quad (1)$$

где  $A_{i,j}$  – постоянные интегрирования;  $p_i$  – собствен-

ные числа;  $m$  – число переменных системы;  $n$  – порядок системы;  $n \leq m$ .

Для установления связи между свободными составляющими переменных выделим в выражении (1) слагаемые, соответствующие, например, собственному числу  $p_1$ :  $A_{j1} \exp(p_1 t)$ ;  $j = 1, 2, \dots, m$  и подставим их в упомянутую совокупность однородных уравнений системы. После выполнения операций дифференцирования и сокращения множителя  $\exp(p_1 t)$  получаем линейную, однородную, алгебраическую систему уравнений относительно постоянных  $A_{j,1}$ . Примем одну из переменных за базовую, например,  $x_1(t)$  и, удерживая  $m-1$  уравнений, решим их относительно  $A_{j,1}$ ;  $j = 2, 3, \dots, m$ . Очевидно, найденные постоянные интегрирования являются функциями  $A_{11}$ . Тогда схемными коэффициентами по собственному числу  $p_1$  назовем отношения  $K_j(p_1) = \frac{A_{j1}(p_1)}{A_{11}}$ ;  $j = 2, 3, \dots, m$ . Таким образом, схемные коэффициенты позволяют выразить постоянные интегрирования всех переменных системы при собственном числе  $p_1$  через соответствующую постоянную базовой переменной. Аналогичные действия выполняются и при получении схемных коэффициентов по другим собственным числам. В результате будут сформированы матрица схемных коэффициентов  $\mathbf{K}$  и матрица  $\mathbf{A}$  постоянных интегрирования переменных системы, упорядоченные по порядку собственных чисел и переменных системы:

$$\mathbf{K} = \begin{bmatrix} 1 & 1 & \dots & 1 \\ K_2(p_1) & K_2(p_2) & \dots & K_2(p_n) \\ \dots & \dots & \dots & \dots \\ K_m(p_1) & K_m(p_2) & \dots & K_m(p_n) \end{bmatrix}; \quad (2)$$

$$A = \begin{bmatrix} A_{11} & A_{12} & \dots & A_{1n} \\ K_2(p_1)A_{11} & K_2(p_2)A_{12} & \dots & K_2(p_n)A_{1n} \\ \dots & \dots & \dots & \dots \\ K_m(p_1)A_{11} & K_m(p_2)A_{12} & \dots & K_m(p_n)A_{1n} \end{bmatrix}. \quad (3)$$

Выражение (1) теперь может быть переписано в виде

$$x_{j \text{ св}}(t) = \sum_{i=1}^n K_j(p_i) A_{1i} \exp(p_i t);$$

$$j = 1, 2, \dots, m; K_1(p_i) \equiv 1, \quad (4)$$

а вектор переменных системы дается уравнением

$$X(t) = Ae^{Pt} + X_{\text{уст}}(t), \quad (5)$$

где  $[e^{Pt}]^T$  – вектор  $[\exp(p_1 t), \exp(p_2 t), \dots, \exp(p_n t)]$ ;  $X_{\text{уст}}(t)$  – установившиеся значения переменных.

Поставим задачу применения схемных коэффициентов для анализа переходных процессов в нелинейных системах на основе кусочно-линейной аппроксимации их характеристик.

### РЕШЕНИЕ ЗАДАЧИ

Пусть в момент  $t > t_i$  переменные системы соответствуют  $i$ -му участку кусочно-линейной аппроксимации нелинейной характеристики,  $t_i$  – момент выхода переменных на этот участок. Тогда вектор  $X_i(t)$  на основании (4) описывается выражением:

$$X_i(t) = K_i A_{1i} e^{P_i(t-t_i)} + X_{i \text{ уст}}(t-t_i),$$

где вектор  $[A_{1i} e^{P_i(t-t_i)}]^T = [A_{11i} \exp(p_{1i}(t-t_i),$

$$A_{12i} \exp(p_{2i}(t-t_i)), \dots, A_{1ni} \exp(p_{ni}(t-t_i))],$$

а индекс  $i$  указывает на принадлежность к  $i$ -му участку. Полагая  $t = t_{i+1}$ , получаем вектор переменных

$$X_i(t_{i+1}) = K_i A_{1i} e^{P_i \Delta t_i} + X_{i \text{ уст}}(\Delta t_i), \text{ где } \Delta t_i = t_{i+1} - t_i.$$

Момент  $t_{i+1}$  определяется переходом переменных системы на  $i+1$ -й участок характеристики. Пусть в этот момент переменные испытывают скачок, и их новые значения в момент  $t_{i+1+} = t_{i+1} + 0$  определяются функцией  $f_i$

$$X_i(t_{i+1+}) = f_i [K_i A_{1i} e^{P_i \Delta t_i} + X_{i \text{ уст}}(\Delta t_i)]. \quad (6)$$

На  $i+1$ -ом участке процесс описывается выражением

$$X_{i+1}(t) = K_{i+1} A_{1i+1} e^{P_{i+1}(t-t_{i+1})} + X_{i+1 \text{ уст}}(t-t_{i+1}).$$

В момент  $t_{i+1+}$  получаем

$$X_{i+1}(t_{i+1+}) = f_i [X_i(t_{i+1})] = K_{i+1} A_{1i+1} + X_{i+1 \text{ уст}}(0). \quad (7)$$

Сопоставляя выражения (6) и (7), определим вектор постоянных для базовой переменной на  $i+1$ -ом участке через значение этого вектора на  $i$ -ом участке:

$$A_{1i+1} = K_{i+1}^{-1} \{ f_i [K_i A_{1i} e^{P_i \Delta t_i} + X_{i \text{ уст}}(\Delta t_i)] - X_{i+1 \text{ уст}}(0) \}. \quad (8)$$

На первом участке вектор постоянных определяется по значениям  $X_I(0), X_{I \text{ уст}}(0)$ .

Вполне аналогичные соотношения справедливы и для расчета переходных процессов в линейной сис-

теме, параметры которой скачкообразно меняются во времени. Тогда моменты  $t_i$  задаются заранее.

Обобщим предлагаемый метод на случай периодического режима, характеризующегося чередованием значений параметров системы. Пусть период состоит из двух интервалов:  $i$  и  $i+1$ . Тогда по аналогии с выражением (8) определим вектор постоянных интегрирования на  $i+2$  интервале

$$A_{1i+2} = K_{i+2}^{-1} \{ f_{i+1} [K_{i+1} A_{1i+1} e^{P_{i+1} \Delta t_{i+1}} + X_{i+1 \text{ уст}}(\Delta t_{i+1})] - X_{i+2 \text{ уст}}(0) \}.$$

Согласно условию периодичности это равенство можно записать в виде

$$A_{1i} = K_i^{-1} \{ f_{i+1} [K_{i+1} A_{1i+1} e^{P_{i+1} \Delta t_{i+1}} + X_{i+1 \text{ уст}}(\Delta t_{i+1})] - X_{i \text{ уст}}(0) \}. \quad (9)$$

Уравнения (8), (9) позволяют найти постоянные интегрирования для базовой переменной на двух интервалах периода. Аналогично можно выписать уравнения для постоянных в случае, когда период состоит из нескольких интервалов.

### АНАЛИЗ РЕЗУЛЬТАТОВ

Рассмотрим переходный процесс включения электромагнита постоянного тока с пусковой и удерживающими обмотками [6], рис. 1. Число витков пусковой обмотки меньше числа витков удерживающей, поэтому при включении ток вначале протекает по пусковой обмотке, а в удерживающей наводится эдс, запирающая диод. По мере нарастания тока в пусковой обмотке эта эдс уменьшается, и диод открывается в момент  $t_1$ , когда  $M \frac{di_n}{dt} = U$ , где  $M$  – коэффициент взаимной индукции,  $U$  – напряжение сети.

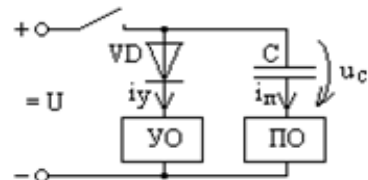


Рис. 1. Схема включения двухобмоточного электромагнита

До начала движения якоря пренебрежем изменением индуктивности и коэффициента взаимной индукции обмоток [6]. Таким образом, в рассматриваемой системе имеется один нелинейный элемент – диод  $VD$ , сопротивление которого в закрытом состоянии обозначим  $r_1$ , а в открытом –  $r_2$ ;  $r_1 \gg r_2$ .

Система описывается уравнениями

$$\left. \begin{aligned} i_n r_n + L_n \frac{di_n}{dt} + M \frac{di_y}{dt} + u_c = U; \quad C \frac{du_c}{dt} = i_n; \\ M \frac{di_n}{dt} + (r_y + r_\delta) i_y + L_y \frac{di_y}{dt} = U \end{aligned} \right\},$$

где  $r_n, L_n, r_y, L_y$  – соответственно сопротивления и индуктивности пусковой и удерживающей обмоток;  $r_n < r_y$ ;  $L_n < L_y$ ;  $r_\delta = r_1$  или  $r_\delta = r_2$ . Принимая за базовую переменную  $i_n(t)$ , получаем систему уравнений для определения схемных коэффициентов

$$\left. \begin{aligned} r_n + pL_n + pMA_y + A_c = 0; \quad pCA_c - 1 = 0; \\ pM + (r_y + r_\delta)A_y + pL_yA_y = 0 \end{aligned} \right\},$$

из второго и третьего уравнения которой получаем схемные коэффициенты  $K_c(p) = A_c = \frac{1}{pC}$ ;

$$K_y(p) = A_y = -\frac{pM}{pL_y + r_y + r_\delta}.$$

На первом участке с учетом нулевых начальных условий, постоянные интегрирования для базовой переменной  $i_n(t)$  вычисляются по выражению:

$$A_1 = -K_1^{-1} X_{1\text{уст}},$$

$$\text{где } X_{1\text{уст}}^T = [i_{n\text{уст}}; i_{y\text{уст}}; u_{c\text{уст}}] = \left[ 0; \frac{U}{r_1 + r_y}; U \right].$$

На втором участке при открытом диоде в соответствии с (8)  $A_2 = K_2^{-1} [K_1 A_1 e^{P_1 t_1} + X_{1\text{уст}} - X_{2\text{уст}}]$ . Для нахождения постоянных интегрирования для  $i_y(t), u_c(t)$  следует воспользоваться выражением (3).

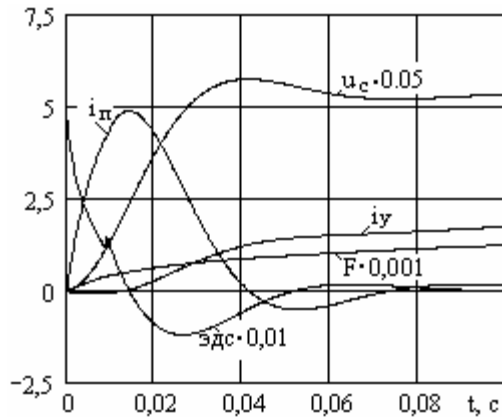


Рис. 2. Процесс включения электромагнита

На рис. 2 изображены результаты моделирования переходного процесса; графики построены по выражениям:

$$x_{j1}(t) = \sum_{i=1}^3 A_{ji1} \exp(p_i t) + x_{j1\text{уст}}(t)$$

при  $0 \leq t < t_1$ ;

$$x_{j2}(t) = \sum_{i=1}^3 A_{ji2} \exp(p_i (t - t_1)) + x_{j2\text{уст}}(t - t_1) \text{ при}$$

$t \geq t_1$ ,

где индекс  $j$  пробегает значения 1, 2, 3 и  $x_1 = i_n$ ,  $x_2 = i_y$ ,  $x_3 = u_c$ . Моделирование выполнено при следующих типичных значениях параметров:  $r_y = 50$  Ом,  $L_y = 3,7$  Гн,  $r_n = 10$  Ом,  $L_n = 0,171$  Гн,  $C = 100$  мкФ,  $M = 0,5$  Гн,  $r_1 = 1$  кОм,  $r_2 = 1$  Ом. Собственные числа на интервалах:

$$P_1^T = [-502,9 \quad -31,466 \mp 66,824j];$$

$$P_2^T = [-52,739 \mp 82,1194j \quad -13,991],$$

соответствующие матрицы схемных коэффициентов:

$$K_1 = \begin{bmatrix} 1 & 1 & 1 \\ -0,31 & 6,9 \cdot 10^{-3} + 0,038j & 6,9 \cdot 10^{-3} - 0,038j \\ -1,988 & -5,768 + 12,249j & -5,768 - 12,249j \end{bmatrix};$$

$$K_2 = \begin{bmatrix} 1 & 1 & 1 \\ -0,144 + 0,019j & -0,144 - 0,019j & -9,13 \\ -5,537 + 8,621j & -5,537 - 8,621j & -71,475 \end{bmatrix};$$

момент открывания диода  $t_1 = 8,895$  мс; векторы постоянных интегрирования по базовой переменной:

$$A_1^T = [-0,709 \quad 0,355 \pm 4,381j];$$

$$A_2^T = [1,989 \pm 3,101j \quad 0,167].$$

Из рисунка следует, что пусковой ток вместе с намагничивающей силой  $F$ , график которой показан уменьшенным в  $10^3$  раз, интенсивно нарастает. В момент  $t_1$ , когда график эдс снижается до значения  $U$ , переменные не претерпевают разрыва.

## ВЫВОДЫ

Предложен численно-аналитический метод определения постоянных интегрирования в выражениях для моделирования переходных процессов в нелинейных и нестационарных электротехнических системах. Метод основан на схемных коэффициентах и вычислении на их основе полных матриц постоянных интегрирования на каждом линейном участке системы. Достоинством метода является возможность получения аналитических выражений переменных на каждом линейном участке и оценка влияния каждого собственного числа в формировании переходного процесса. Определение постоянных интегрирования не сопровождается вычислением производных от переменных системы в начальный момент времени. Дальнейшим перспективным направлением является разработка методики применения схемных коэффициентов для анализа качества переходных процессов в линейных и нелинейных электротехнических системах.

## ЛИТЕРАТУРА

- [1] Куликов Ю.А. Переходные процессы в электрических системах. – М.: Мир: ООО "Изд-во АСТ", 2003. – 283 с.
- [2] Демирчян К.С. Теоретические основы электротехники. Т.2. / К.С.Демирчян, Л.Р.Нейман, Н.В.Коровкин и др. – СПб.: Изд-во "Питер", 2003. – 576 с.
- [3] Бессонов Л.А. Теоретические основы электротехники. Электрические цепи.–М.:Изд-во "Гардарики", 2000. – 638 с.
- [4] Кузовкин В.А. Теоретическая электротехника. – М.: Изд-во "Логос", 2005. – 480 с.
- [5] Костюков В.В. Связь между постоянными интегрирования при анализе переходных процессов в линейных электрических цепях // Вестник СевГТУ. Вып. 55 Механика, энергетика, экология: Сб. научн. тр.; Севастоп. нац. техн. ун-т. – Севастополь: Изд-во СевНТУ, 2004. – С. 80 -86.
- [6] Переходные процессы в электрических машинах и аппаратах и вопросы проектирования / О.Д.Гольдберг, О.Б.Буль, И.С. Свириденко и др. – М.: Высш. шк., 2001. – 512 с.

Поступила 30.05.2006